

## Итерационный метод оценки критической скорости флаттера аэродинамического профиля в нестационарном потоке

А. В. Сафронов, В. А. Сафронов

Национальный научно-исследовательский центр оборонных технологий и военной безопасности Украины, Киев, Украина

*Предложен метод, позволяющий на ранней стадии проектирования за три-четыре итерации определять критическую скорость флаттера аэродинамических профилей с применением теории крыла в нестационарном потоке и создавать авиационные конструкции с оптимальными весовыми характеристиками.*

Разработке методов оценки критической скорости флаттера аэродинамического профиля посвящены многочисленные публикации [1–8]. Обычно оценка характеристик флаттера осуществляется по теории крыла в стационарном потоке. Ее особенность заключается в сравнительно простом определении действующих на колеблющийся профиль аэродинамических сил и моментов. Однако при этом величины критических скоростей флаттера оказываются значительно меньше критических скоростей, определяемых по теории крыла в нестационарном потоке, а конструкции более тяжелыми.

В отличие от этой задачи, исследование флаттера авиационных конструкций с использованием теории крыла в нестационарном потоке относится к весьма сложной задаче аэроупругости и обусловлено необходимостью решения громоздких систем нелинейных трансцендентных уравнений различными приближенными методами [2, 6, 8]. То есть поиск простых инженерных методов, позволяющих на ранней стадии проектирования авиационных конструкций достоверно оценивать характеристики флаттера, представляется актуальной научной задачей.

На наш взгляд, достоверные результаты при исследовании характеристик флаттера в нестационарном потоке можно получить с помощью метода итераций. При таком подходе в каждой отдельной итерации поставленная задача решается в линейной постановке.

Процедуру предлагаемого подхода изложим на примере оценки частоты колебаний и критической скорости изгибно-крутильного флаттера аэродинамического профиля в нестационарном несжимаемом потоке. В этом случае, воспользовавшись результатами работы [2], систему дифференциальных уравнений совместных изгибно-крутильных колебаний профиля в потоке можно записать в виде

$$\begin{aligned} (m + \mu_0) \frac{d^2 Y(t)}{dt^2} + C_n Y(t) - (m\sigma + \mu_0 a) \frac{d^2 \theta(t)}{dt^2} &= F(k; t); \\ (J + \Delta J) \frac{d^2 \theta(t)}{dt^2} + C_k \theta(t) - (m\sigma + \mu_0 a) \frac{d^2 Y(t)}{dt^2} &= M(k; t), \end{aligned} \quad (1)$$

где  $m$  – погонная масса профиля;  $\mu_0$  – присоединенная погонная масса профиля;  $Y(t)$  – изгибные колебания профиля;  $C_{\text{и}}$  – жесткость профиля на изгиб;  $\sigma$  – расстояние между осью вращения и центром тяжести профиля (величина положительная, если центр тяжести расположен позади оси вращения);  $a$  – расстояние оси вращения от середины хорды (положительное при расположении оси ближе к передней кромке);  $\theta(t)$  – крутильные колебания профиля;  $F(k; t)$ ,  $M(k; t)$  – нестационарные аэродинамические погонные силы и моменты, действующие на профиль;  $k$  – число Струхала;  $J$  – массовый погонный момент инерции профиля;  $\Delta J$  – присоединенный погонный момент инерции профиля;  $C_k$  – жесткость профиля крыла при кручении.

Присоединенные погонные масса и момент инерции профиля определяются из известных зависимостей [2, 6]

$$\mu_0 = \pi \rho b^2; \quad \Delta J = \mu_0 b^2 \left[ \frac{1}{8} + \left( \frac{X_0}{b} - 1 \right)^2 \right],$$

где  $\rho$  – плотность воздуха;  $b$  – полухорда профиля;  $X_0$  – расстояние от передней кромки профиля до оси его вращения.

Число Струхала, от величины которого зависят нестационарные аэродинамические сила и момент, определяется безразмерным отношением [2, 6]

$$k = \frac{b\omega}{V}, \quad (2)$$

где  $\omega$  – круговая частота колебаний профиля при возникновении флаттера;  $V$  – скорость потока.

При принятой форме записи системы (1) нестационарные аэродинамические сила и момент, в соответствии с данными работ [2, 6], могут быть представлены зависимостями

$$F(k; t) = 2\pi b_0 q \left\{ \theta(t)C(k) + \left[ \frac{1}{4} + \left( \frac{3}{4} - \frac{X_0}{b_0} \right) C(k) \right] \frac{b_0}{V} \frac{d\theta(t)}{dt} - \frac{dY(t)}{Vdt} C(k) \right\}; \quad (3)$$

$$M(k; t) = 2\pi b_0^2 q \left\{ \left( \frac{X_0}{b_0} - \frac{1}{4} \right) \theta(t)C(k) - \left( \frac{3}{4} - \frac{X_0}{b_0} \right) \left[ \frac{1}{4} - \left( \frac{X_0}{b_0} - \frac{1}{4} \right) C(k) \right] \frac{b_0}{V} \frac{d\theta(t)}{dt} - \left( \frac{X_0}{b_0} - \frac{1}{4} \right) \frac{dY(t)}{Vdt} C(k) \right\}, \quad (4)$$

где  $b_0$  – хорда профиля;  $q = \frac{1}{2} \rho V^2$  – скоростной напор потока;  $C(k) = F(k) + iG(k)$  – функция Теодорсена [2, 6].

Для удобства изложения материала введем следующие обозначения:  
 $\omega_n^2 = \frac{C_n}{m + \mu_0}$ ,  $\omega_k^2 = \frac{C_k}{J + \Delta J}$  – квадраты круговой частоты собственных изгибных и крутильных колебаний профиля в потоке при  $V = 0$ ;

$$\begin{aligned} m_n &= m + \mu_0; & m_1 &= m \left( 1 + \frac{\mu_0 a}{m \sigma} \right); & J_n &= J + \Delta J; & a_1 &= 2\pi \frac{b_0}{m_n}; \\ a_2 &= \frac{1}{2} \pi \frac{b_0^2}{m_n}; & a_3 &= 2\pi \frac{b_0^2}{m_n} \left( \frac{3}{4} - \frac{X_0}{b_0} \right); & b_1 &= 2\pi \frac{b_0^2}{J_n} \left( \frac{X_0}{b_0} - \frac{1}{4} \right); \\ b_2 &= \frac{1}{2} \pi \frac{b_0^3}{J_n} \left( \frac{3}{4} - \frac{X_0}{b_0} \right); & b_3 &= 2\pi \frac{b_0^3}{J_n} \left( \frac{X_0}{b_0} - \frac{1}{4} \right) \left( \frac{3}{4} - \frac{X_0}{b_0} \right). \end{aligned}$$

Тогда систему уравнений (1) можно записать в виде

$$\begin{aligned} &\frac{d^2 Y(t)}{dt^2} + \omega_n^2 Y(t) - \frac{m_1}{m_n} \sigma \frac{d^2 \theta(t)}{dt^2} = \\ &= a_1 q \theta(t) C(k) + a_2 \frac{q}{V} \frac{d\theta(t)}{dt} + a_3 \frac{q}{V} \frac{d\theta(t)}{dt} C(k) - a_1 \frac{q}{V} \frac{dY(t)}{dt} C(k); \\ &-\frac{m_1}{J_n} \sigma \frac{d^2 Y(t)}{dt^2} + \omega_k^2 \theta(t) + \frac{d^2 \theta(t)}{dt^2} = \\ &= b_1 q \theta(t) C(k) - b_2 \frac{q}{V} \frac{d\theta(t)}{dt} + b_3 \frac{q}{V} \frac{d\theta(t)}{dt} C(k) - b_1 \frac{q}{V} \frac{dY(t)}{dt} C(k). \end{aligned} \tag{5}$$

Классическое решение системы уравнений (5) представляется в форме гармонических функций [6]:

$$\begin{aligned} Y(t) &= Y_0 e^{i\omega t}; \\ \theta(t) &= \theta_0 e^{i\omega t}, \end{aligned} \tag{6}$$

где  $Y_0, \theta_0$  – амплитуды изгибных и крутильных колебаний профиля.

Подставляя решение (6) в систему (5), получаем характеристическое уравнение колебаний профиля в нестационарном потоке:

$$\begin{aligned} &Y_0 \left[ -\omega^2 + \omega_n^2 + a_1 \frac{q}{V} C(k) \right] + \\ &+ \theta_0 \left[ \frac{m_1}{m_n} \sigma \omega^2 - a_1 q C(k) - i\omega a_2 \frac{q}{V} - i\omega a_3 \frac{q}{V} C(k) \right] = 0; \\ &Y_0 \left[ \frac{m_1}{J_n} \sigma \omega^2 + i\omega b_1 \frac{q}{V} C(k) \right] + \\ &+ \theta_0 \left[ -\omega^2 + \omega_k^2 - b_1 q C(k) + i\omega b_2 \frac{q}{V} - i\omega b_3 \frac{q}{V} C(k) \right] = 0. \end{aligned} \tag{7}$$

Отсюда после преобразований получим частотное уравнение

$$A_0\omega^4 + iA_1\omega^3 + A_2\omega^2 + iA_3\omega + A_4 = 0, \quad (8)$$

в котором комплексные величины представляются выражениями

$$A_0 = 1 - \frac{m_1^2}{m_n J_n} \sigma^2; \quad A_1 = \frac{q}{V} \left\{ a_2 \frac{m_1}{J_n} \sigma - b_2 + d_1 C(k) \right\};$$

$$A_2 = -\omega_k^2 - \omega_n^2 + d_2 q C(k); \quad A_3 = \frac{q}{V} \{ b_2 \omega_n^2 + d_3 C(k) \};$$

$$A_4 = \omega_k^2 \omega_n^2 - d_4 q C(k),$$

где

$$d_1 = b_3 - a_1 + \left( a_3 \frac{m_1}{J_n} - b_1 \right) \sigma; \quad d_2 = b_1 + a_1 \frac{m_1}{J_n} \sigma - \frac{1}{4} \rho \pi^2 \frac{b_0^4}{m_n J_n};$$

$$d_3 = a_1 \omega_k^2 - b_3 \omega_n^2; \quad d_4 = b_1 \omega_n^2.$$

Разделяя в уравнении (8) действительные и мнимые величины, получаем два действительных уравнения, которые запишем в виде

$$BF(k)V^2 - CG(k)V + D = 0; \quad (9)$$

$$A'_1 \omega^3 + d_2 VG(k) \omega^2 + A'_3 \omega - d_4 VG(k) = 0, \quad (10)$$

где

$$\begin{cases} B = \omega^2 d_2 - d_4; & C = (\omega^2 d_1 + d_3) \omega; \\ D = \frac{2}{\rho} [A_0 \omega^4 - (\omega_n^2 + \omega_k^2) \omega^2 + \omega_n^2]; \\ A'_1 = a_2 \frac{m_1}{J_n} \sigma - b_2 + d_1 F(k); \\ A'_3 = \omega_n^2 b_2 + d_3 F(k). \end{cases} \quad (11)$$

Уравнения (2), (9) и (10) представляют собой замкнутую нелинейную систему относительно неизвестных  $V$ ,  $\omega$  и  $k$ , точное решение которой невозможно. Данная система уравнений может быть решена методом итераций [9], полагая начальное значение числа Струхалия равным нулю ( $k_1 = 0$ ).

При этом условии действительная и мнимая части функции Теодорсена в первой итерации соответственно равны [3, 6]:

$$F(k_1) = 1, 0; \quad (12)$$

$$G(k_1) = 0. \quad (13)$$

Условие (13) позволяет легко определить из уравнения (10) круговую частоту колебаний в первой итерации

$$\omega_1^2 = -\frac{A'_{31}}{A'_{11}}. \quad (14)$$

При известной круговой частоте колебаний из уравнения (9) определяется критическая скорость флаттера, которая во всех итерациях может быть представлена зависимостью

$$V_i = \frac{1}{2B_i F(k_i)} \{C_i G(k_i) + [C_i^2 G^2(k_i) - 4B_i D_i F(k_i)]^{1/2}\}. \quad (15)$$

Определив  $\omega_1$  и  $V_1$  из отношения, аналогичного (2), найдем число Струхала

$$k_2 = \frac{b\omega_1}{V_1},$$

а затем действительные  $F(k_2)$  и мнимые  $G(k_2)$  части функции Теодорсена во втором приближении.

Отличительной особенностью выполнения второй и последующих итераций является то, что круговая частота колебаний при флаттере должна определяться из кубического уравнения (10), которое может быть решено различными приближенными методами [9]. Эти методы достаточно громоздки и не всегда удобны для практического применения.

Поскольку для реальных аэродинамических профилей последний член уравнения (10) представляет собой величину малого порядка, решение этого уравнения можно записать в виде суммы

$$\omega_i = \omega_{in} + \Delta\omega_i, \quad (16)$$

где  $\omega_{in}$  – приближенное значение круговой частоты колебаний, получаемое из решения уравнения (10) без учета последнего члена;  $\Delta\omega_i$  – приращение круговой частоты колебаний, получаемое из этого же уравнения, записанного в приращениях.

Подставляя сумму (16) в уравнение (10), получаем два независимых уравнения:

$$A'_{1i}\omega_{in}^2 + d_2 V_{i-1} G(k_i) \omega_{in} + A'_{3i} = 0; \quad (17)$$

$$A'_{1i}\Delta\omega_i^2 + [2A'_{1i}\omega_{in} + d_2 V_{i-1} G(k_i)]\Delta\omega_i = \frac{d_4}{\omega_{in} + \Delta\omega_i} V_{i-1} G(k_i), \quad (18)$$

где  $A'_{1i}$  и  $A'_{3i}$  определяются по формулам (11), в которых вместо  $\omega$  и  $k$  следует подставить  $\omega_i$  и  $k_i$  соответственно.

Из уравнения (17) находим приближенное значение круговой частоты колебаний аэродинамического профиля

$$\omega_{in} = \frac{1}{2A'_{1i}} \{-d_2 V_{i-1} G(k_i) \pm [d_2^2 V_{i-1}^2 G^2(k_i) - 4A'_{1i} A'_{3i}]^{1/2}\}. \quad (19)$$

Определив приближенное значение круговой частоты колебаний из уравнения (19), можно перейти к оценке приращения круговой частоты колебаний из уравнения (18). С этой целью уравнение (18) представим в виде

$$\begin{aligned} & A'_{1i} \Delta\omega_i^3 + [3A'_{1i} \omega_{in} + d_2 V_{i-1} G(k_i)] \Delta\omega_i^2 + \\ & + [2A'_{1i} \omega_{in} + d_2 V_{i-1} G(k_i)] \omega_{in} \Delta\omega_i - d_4 V_{i-1} G(k_i) = 0. \end{aligned} \quad (20)$$

Поскольку абсолютная величина приращения круговой частоты колебаний мала, то даже для относительно легких аэродинамических профилей первый член уравнения (20) оказывается на несколько порядков меньше других членов этого уравнения. Следовательно, в инженерных расчетах этим членом можно пренебречь и вместо кубического рассматривать квадратное уравнение

$$\begin{aligned} & [3A'_{1i} \omega_{in} + d_2 V_{i-1} G(k_i)] \Delta\omega_i^2 + \\ & + [2A'_{1i} \omega_{in} + d_2 V_{i-1} G(k_i)] \omega_{in} \Delta\omega_i - d_4 V_{i-1} G(k_i) = 0. \end{aligned} \quad (21)$$

Из уравнения (21) легко можно получить приращение круговой частоты колебаний аэродинамического профиля.

Подставляя величины приближенных значений  $\omega_{in}$  и  $\Delta\omega_i$  в выражение (16), получаем результирующее значение круговой частоты колебаний во второй и последующих итерациях.

Отметим, что погрешность определения круговой частоты колебаний предложенным методом составляет десятые доли процента, т.е. представление круговой частоты колебаний аэродинамического профиля в виде суммы (16) позволяет привести решение кубического уравнения (10) к классическому решению двух независимых уравнений второго порядка и с большой точностью определять круговую частоту колебаний аэродинамического профиля в каждой итерации.

Процесс итерации продолжается до тех пор, пока в двух последующих итерациях отличие по критической скорости флаттера аэродинамического профиля не превышает принятой в расчете погрешности.

Изложенный подход обеспечивает быструю сходимость итерационного процесса. Выполненные расчеты показывают, что отличие по частоте колебаний и критической скорости флаттера уже в третьей и четвертой итерациях не превышает 1,0%.

Для сравнения результатов, полученных предложенным методом, с данными работы [2] оценим критическую скорость изгибно-крутильного флаттера аэродинамического профиля при различных значениях относительной массы профиля:

$$\bar{m} = \frac{m}{\mu_0}.$$

Расчеты выполняли при следующих исходных данных:  $b = 1,0$  м;  $X_0 = 0,6$  м;  $\sigma = 0,1$  м;  $\rho = 0,125$  кг·м<sup>-4</sup>·с<sup>2</sup>;  $\omega_{и} = 0$ .

Зависимость момента инерции от массы и геометрических характеристик профиля представим выражением [2, 6]

$$J = mb^2R^2,$$

где  $R$  – радиус инерции аэродинамического профиля,  $R^2 = 0,25$ .

Критическую скорость флаттера запишем в безразмерной форме [2]:

$$\bar{V}_i = \frac{V_i}{b\omega_k}.$$

Для упрощения вычислений введем следующие относительные величины:

$$\bar{A}'_{3i} = \frac{A'_{3i}}{\omega_k^2}; \quad \bar{C}_1 = \frac{C_1}{\omega_k^2}; \quad \bar{D}_i = \frac{D_i}{\omega_k^2}; \quad \bar{B}_i = \frac{B_i}{\omega_k^2}; \quad \bar{\omega}_i = \frac{\omega_i}{\omega_k}.$$

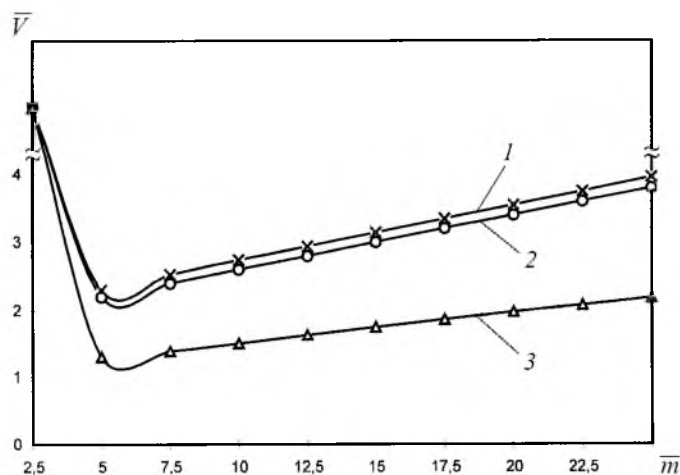
Изменение этих величин и параметров изгибно-крутильного флаттера аэродинамического профиля по итерациям при  $\bar{m} = 20,0$  приведено в таблице.

**Результаты расчетов изгибно-крутильного флаттера аэродинамического профиля в нестационарном потоке при  $\bar{m} = 20,0$**

№ итерации	$k_i$	$F(k_i)$	$-G(k_i)$	$-A'_i$	$\bar{A}'_{3i}$	$\bar{\omega}_i$	$\bar{B}_i$	$\bar{C}_i$	$-\bar{D}_i$	$\bar{V}_i$
1	0	1,000	0	2,804	1,524	0,736	0,547	0,552	4,228	2,780
2	0,265	0,683	0,183	2,669	1,041	0,535	0,289	0,750	3,337	3,780
3	0,142	0,779	0,185	2,710	1,187	0,544	0,299	0,761	3,404	3,530
4	0,154	0,768	0,187	2,705	1,170	0,546	0,301	0,763	3,416	3,547

Сравнение критических скоростей флаттера, полученных методом итераций, с результатами работы [2] при различных величинах  $\bar{m}$  приведено на рисунке. Видно, что максимальное отличие сравниваемых результатов при значениях относительных масс, близких к реальным ( $\bar{m} \geq 20,0$ ), не превышает 4...5%. Там же представлены результаты оценки критической скорости флаттера по теории крыла в стационарном потоке [6, 10]. Их сравнение показывает, что критическая скорость изгибно-крутильного флаттера

в этом случае оказывается значительно меньше, т.е. реальные запасы по критической скорости изгибно-крутильного флаттера аэродинамических поверхностей оказываются больше нормируемых. Этот факт был неоднократно подтвержден и другими экспериментальными исследованиями [4].



Сравнение критической скорости флаттера аэродинамического профиля в стационарном и нестационарном потоке: 1 – метод итераций; 2 – по данным работы [2]; 3 – для стационарного потока.

Таким образом, предложенный метод по сравнению с известными обеспечивает достаточно быструю сходимость итерационного процесса и позволяет более достоверно, чем по теории крыла в стационарном потоке, определять критическую скорость изгибно-крутильного флаттера аэродинамических поверхностей и проектировать конструкции с оптимальными по условиям флаттера весовыми характеристиками.

## Резюме

Запропоновано метод, який дозволяє на ранній стадії проектування за тричотири ітерації визначати критичну швидкість флатера аеродинамічних профілів із використанням теорії крила в нестационарному потоці і створювати авіаційні конструкції з оптимальними ваговими характеристиками.

1. Белоцерковский С. М., Кочетков Ю. А., Красовский А. А., Новицкий В. В. Введение в аэроавтоупругость. – М.: Наука, 1980. – 384 с.
2. Бисплингхофф Р. Л., Эили Х., Халфмэн Р. Л. Аэроупругость. – М.: Изд-во иностр. лит-ры, 1959. – 799 с.
3. Смирнов А. И. Аэроупругая устойчивость летательных аппаратов. – М.: Машиностроение, 1980. – 231 с.
4. Келдыш М. В. Избранные труды. Механика. – М.: Наука, 1985. – 568 с.
5. Гурьянов И. А., Котовский В. Н., Нишит М. И. Математическое моделирование нестационарного обтекания вязким потоком телесного крыла конечного размаха // Учен. зап. ЦАГИ. – 1991. – 22, № 3. – С. 35 – 42.



6. Некрасов А. И. Сравнительный анализ расчета флаттера по теории неустановившегося и установившегося потоков // Инж. сб. – 1951. – **10**. – С. 109 – 168.
7. Левкин В. Ф. Экспериментальные исследования нестационарных аэродинамических характеристик поверхности управления при трансзвуковых скоростях // Тр. ЦАГИ. – 1982. – Вып. 2132. – 16 с.
8. Нуштаев Ю. П. Нестационарные аэродинамические характеристики профиля в трансзвуковом потоке идеального газа // Учен. зап. ЦАГИ. – 1982. – **13**, № 1. – С. 1 – 10.
9. Выгодский М. Я. Справочник по высшей математике. – М.: Физматгиз, 1961. – 784 с.
10. Сафронов А. В., Сафронов В. А. Графо-аналитические методы параметрической оценки характеристик изгибно-крутильного флаттера аэродинамического профиля // Пробл. прочности. – 1997. – № 4. – С. 95 – 106.

Поступила 21. 03. 2001